# 地表臭氧浓度升高对旱作农田 N<sub>2</sub>O 排放的影响

吴杨周<sup>1,3</sup>,胡正华<sup>1,2,3\*</sup>,李岑子<sup>3</sup>,陈书涛<sup>1,3</sup>,谢燕<sup>3</sup>,肖启涛<sup>2,3</sup>

(1. 南京信息工程大学气象灾害预报预警与评估协同创新中心,南京 210044; 2. 南京信息工程大学江苏省农业气象重点实验室,大气环境中心,南京 210044; 3. 南京信息工程大学应用气象学院,南京 210044)

摘要:通过田间试验,在冬小麦和大豆生长季设置 3 种不同臭氧( $O_3$ )浓度的处理,包括自由空气(对照,CK)、100 nL·L<sup>-1</sup>  $O_3$ 浓度( $T_1$ )和150 nL·L<sup>-1</sup>  $O_3$ 浓度( $T_2$ ),采用静态箱-气相色谱法测定N<sub>2</sub>O排放通量,研究地表  $O_3$ 浓度升高对冬小麦-大豆轮作系统N<sub>2</sub>O排放的影响. 结果表明,与 CK 相比,在冬小麦返青期, $T_1$ 和  $T_2$ 处理都降低了土壤-冬小麦系统N<sub>2</sub>O累积排放量,降幅分别为37.8%(P=0.000)和8.8%(P=0.903);在拔节-孕穗期, $T_1$ 和  $T_2$ 处理使N<sub>2</sub>O累积排放量分别降低了15.0%(P=0.217)和39.1%(P=0.000);从冬小麦全生育期来看, $T_1$ 、 $T_2$ 的N<sub>2</sub>O累积排放量分别降低了18.9%(P=0.138)和25.6%(P=0.000)。由于本年度大豆生长季降水偏少,受干旱胁迫的影响, $T_3$ 、浓度升高对大豆田N<sub>2</sub>O排放的作用不明显。本研究表明地表  $T_3$ 、浓度升高会减少旱作农田N<sub>2</sub>O排放量.

关键词:臭氧;冬小麦;大豆;土壤; N,O排放

中图分类号: X142 文献标识码: A 文章编号: 0250-3301(2015)02-0000-00 DOI: 10.13227/j. hjkx. 2015. 02. 000

# Impacts of Elevated Ozone Concentration on N2O Emission from Arid Farmland

WU Yang-zhou<sup>1,3</sup>, HU Zheng-hua<sup>1,2,3\*</sup>, LI Cen-zi<sup>3</sup>, CHEN Shu-tao<sup>1,3</sup>, XIE Yan<sup>3</sup>, XIAO Qi-tao<sup>2,3</sup>

(1. Collaborative Innovation Center on Forecast Meteorological Disaster Warning and Assessment, Nanjing University of Information Science & Technology, Nanjing 210044, China; 2. Yale-NUIST Center on Atmospheric Environment, Jiangsu Key Laboratory of Agricultural Meteorology, Nanjing University of Information Science & Technology, Nanjing 210044, China; 3. College of Applied Meteorology, Nanjing University of Information Science & Technology, Nanjing 210044, China)

Abstract: To investigate the impact of elevated surface ozone ( $O_3$ ) concentration on nitrous oxide ( $N_2O$ ) emission from arid farmland, field experiments were carried out during winter-wheat and soybean growing seasons under the condition of simulating  $O_3$  concentrations, including free air (CK),  $100 \text{ nL} \cdot \text{L}^{-1}$   $O_3$  concentration ( $T_1$ ), and  $150 \text{ nL} \cdot \text{L}^{-1}$   $O_3$  concentration ( $T_2$ ).  $N_2O$  emission fluxes were measured by static dark chamber-gas chromatograph method. The results showed that the accumulative amount of  $N_2O$  (AAN) were decreased by 37.8% (P=0.000) and 8.8% (P=0.903) under  $T_1$  and  $T_2$  treatments, respectively, in the turning-green stage of winter wheat. In the elongation-booting stage, ANN were decreased by 15.0% (P=0.217) and 39.1% (P=0.000) under  $T_1$  and  $T_2$  treatments, respectively. ANN were decreased by 18.9% (P=0.138) and 25.6% (P=0.000) under  $T_1$  and  $T_2$  treatments, respectively, during the whole winter-wheat growing season. No significant impact of elevated  $O_3$  concentration on  $N_2O$  emission from soil-soybean system was found due to the less rainfall during the soybean growing season, drought had a stronger stress on soybean than  $O_3$  concentration. The results of this study suggested that elevated  $O_3$  concentration could reduce  $N_2O$  emission from arid farmland.

Key words: ozone; winter wheat; soybean; soil; N2O emission

氧化亚氮( $N_2O$ )是仅次于  $CO_2$ 、 $CH_4$  的重要的温室气体,其百年尺度全球增温潜势(GWP)是  $CO_2$  的 298 倍 [1],大气中 $N_2O$ 浓度已由工业革命前的 270 ×  $10^{-9}$ 上升到 2011 年的 324 ×  $10^{-9[2]}$ .  $N_2O$ 在大气中滞留时间长,其生命周期长达 121  $a^{[3]}$ ,而且还能参与平流层的光化学反应,将平流层臭氧( $O_3$ )光解为  $O_2$ ,破坏大气臭氧层 [4],使得到达地表的紫外辐射增加.

 $O_3$  主要存在于平流层底层和近地层,位于平流层的  $O_3$  可吸收短波紫外线,保护地球上的生物不受伤害,而位于近地层的  $O_3$  通过光化学反应生成二次

污染物,造成环境污染. 由于人类活动和大量化石燃料的使用,使得  $O_3$  前体物和光氧化剂持续增加,导致近地层  $O_3$  浓度不断升高. 1999~2000 年我国长三角地区 6 个大气  $O_3$  监测点的资料表明<sup>[5]</sup>,每天7h 平均  $O_3$  浓度为 75  $nL\cdot L^{-1}$ ,而到 2050 年北半球  $O_3$  浓度将在现有基础上增加 20%~25% [6.7],到

收稿日期: 2014-05-10; 修订日期: 2014-09-11

基金项目: 国家自然科学基金项目(41175136,41375006);江苏省农业气象重点实验室开放课题项目(KYQ1302);江苏省高校"青蓝工程"项目

作者简介: 吴杨周(1988~),男,硕士研究生,主要研究方向为农田地气碳氮交换与全球变化, E-mail:yangzhou\_wu@139.

\* 通讯联系人, E-mail:zhhu@nuist.edu.cn

2100 年将增加 40% ~ 60% <sup>[8]</sup>. 研究表明, 地表 O<sub>3</sub> 浓度升高能改变植物叶绿体结构、分解叶绿素和可溶性蛋白, 从而减少叶绿素含量<sup>[9,10]</sup>; 迫使叶片气孔关闭, 降低植物的光合和蒸腾速率<sup>[11,12]</sup>, 抑制植物生长和干物质积累<sup>[13]</sup>, 同时降低根系生物量和根系分泌物总量<sup>[14~16]</sup>, 导致产量下降<sup>[17]</sup>. O<sub>3</sub> 浓度升高还可改变土壤微生物群落组成与活性, 降低根际土壤微生物数量和生物量<sup>[18~20]</sup>.

农田土壤是大气 N<sub>2</sub>O的重要排放源<sup>[21]</sup>,在全球温室气体收支中具有重要的地位.农田N<sub>2</sub>O主要是在土壤微生物参与下,通过土壤硝化-反硝化作用以及作物自身的氮代谢过程产生<sup>[22]</sup>,而 O<sub>3</sub> 浓度升高可能通过抑制作物生长、改变土壤理化性质和土壤微生物组成,从而降低土壤硝化反硝化速率,减少N<sub>2</sub>O的产生与排放.本研究通过田间试验,采用开顶箱和 O<sub>3</sub> 发生与调控装置模拟 O<sub>3</sub> 浓度升高,应用静态箱-气相色谱法测定N<sub>2</sub>O排放通量,并测定植株生物量、叶片与土壤的全氮和有效氮含量,初步分析地表 O<sub>3</sub> 浓度升高对冬小麦-大豆轮作农田生态系统N<sub>2</sub>O排放的影响规律及机制,以期为地表 O<sub>3</sub> 浓度持续增加情景下区域农田温室气体排放量估算提供基础资料.

# 1 材料与方法

# 1.1 试验地点概况

田间试验在南京信息工程大学农业气象与生态试验站(32.16°N,118.86°E)进行.试验地耕层土壤质地为壤质粘土,土壤  $pH(H_2O)$  值为 6.2、黏粒含量为 26.1%、有机碳和全氮的含量分别为 19.41  $g \cdot kg^{-1}$  和 1.42  $g \cdot kg^{-1}$ . 冬小麦和大豆品种分别为扬麦 14 和八月白.作物主要生育期及肥料管理见表 1.

#### 1.2 试验方法

## 1.2.1 O, 浓度处理

1999~2000 年我国长三角地区 6 个大气  $O_3$  监测点的资料表明 $^{[5]}$ ,每天 7h 平均  $O_3$  浓度为 75  $nL\cdot L^{-1}$ ,而 2050 年北半球  $O_3$  浓度将在现有基础上增加 20%~25% $^{[6,7]}$ ,2100 年将增加 40%~60% $^{[8]}$ ,因此本研究设置 3 种  $O_3$  浓度水平: 对照(CK,自由空气)、 $O_3$  浓度 100  $nL\cdot L^{-1}(T_1)$  和  $O_3$  浓度 150  $nL\cdot L^{-1}(T_2)$ ,每处理 3 个重复.每天在08:00~16:00 运行臭氧增加装置,阴雨天关闭.

O<sub>3</sub> 浓度自动调控装置的组成包括开顶箱(OTC)、臭氧发生器、O<sub>3</sub>浓度传感器、微型电子控

表 1 作物主要生育期和施肥

Table 1 Main growth stages of crop and fertilization schedules				
作物	日期	生育期及施肥		
冬小麦	2008-12-14	播种,施基肥(复合肥,40 g·m <sup>-2</sup> ,含N18%,P <sub>2</sub> O <sub>5</sub> 46%)		
	2009-01-01	出苗		
	2009-02-14	返青,施返青肥(复合肥,45 g·m $^{-2}$ ,含 N18%, $P_2O_5$ 46%)		
	2009-03-30	拔节		
	2009-04-08	孕穗		
	2009-04-17	抽穗		
	2009-05-04	成熟		
	2010-07-02	播种, 施基肥 ( 复合肥, 23 g·m $^{-2}$ , 含 N18% , $P_2O_546\%$ )		
	2010-07-06	出苗		
	2010-07-11	三叶期		
大豆	2010-08-06	分枝		
人立	2010-08-17	开花		
	2010-09-01	结荚		
	2010-09-14	鼓粒		
	2010-10-16	收获		

制仪等. 采用直径 3 m、高 2.5 m 的 OTC 作为集气装置,OTC 壁为高透光率的阳光板,保证作物生长所需的光强和光质.  $O_3$  由 WH-H-Y10 型臭氧发生器(南京沃环科技实业有限公司)生成,通过气泵和风扇将  $O_3$  稀释,经给 PVC 导气管输送入 OTC. 每个 OTC 内安装一个  $O_3$  浓度传感器 (ML9810B, MONITOR,精度 1 nL·L<sup>-1</sup>,美国),预先在传感器设置  $O_3$  浓度阈值,当 OTC 内  $O_3$  浓度达到该阈值时,  $O_3$  浓度感应器发射信号,微型电子控制仪接收并打开控制指令,使  $O_3$  发生器上的电磁阀断开,臭氧发生器停止供气. 当 OTC 内  $O_3$  浓度降低后, $O_3$  发生器又开始运行并向 OTC 内  $O_3$  浓度保持在设定水平.

## 1.2.2 气样采集与分析

气体样品的采集与分析采用静态箱-气相色谱法<sup>[23]</sup>.每种处理安装 3 个圆形采样底座(直径 20 cm,高 10 cm),上口有 1.5 cm 深的凹槽,以注水与采样箱密封.采样箱为 PVC 材料的圆柱,高 1 m,箱体直径与底座凹槽直径相同.箱体外侧先包裹一层海绵,再覆盖一层铝箔,以减小采样期间因太阳辐射引起的箱内温度变化.将采样箱罩于底座上,连接好带三通阀的针筒和温度计,向凹槽中加水密封.分别在关箱后 0、10、20 min 采集气样,抽气前抽推针筒数次以混合箱内气体,每次抽样 60 mL. 记录土壤温度、湿度和采样前后箱内气温. 每周采样 1~2

次,在 08:00 ~ 10:00 完成. 采样过程关闭臭氧装置.

用 Agilent-6890N 气相色谱仪检测气样中 $N_2O$  的混合比,采用的是双阀双柱自动进样、反吹、分离和切换系统,ECD(electron capture detector)检测器. 通过对每组 3 个样品的 $N_2O$ 混合比与相应的采样间隔时间(0、10、20 min)进行直线回归,求得 $N_2O$ 的排放速率,再根据大气压力、气温、普适气体常数、 $N_2O$ 分子量、采样箱有效高度等,加权平均求得单位面积的排放量[23],然后通过对每一组相邻平均排放量的累积积分求得全生育期累积排放量[24].

#### 1.2.3 植物与土壤指标测定

用全自动凯氏定氮仪(Kjeltec2300, FOSS,瑞典)测定叶片和土壤全氮<sup>[25]</sup>. 用紫外可见分光光度计(Cary50, Varian,美国)测定叶片中 $NO_3^-$ -N和 $NH_4^+$ -N. 用 $2 \text{ mol·L}^{-1}$  KCL 浸提, FOSS 流动注射分析仪(FIAstar5000, FOSS,瑞典)测定土壤 $NO_3^-$ -N、 $NH_4^+$ -N. 用磺胺比色法(活体法)测定叶片中硝酸还原酶活性,考马斯亮蓝-染色法测定叶片可溶性蛋白质,紫外可见分光光度法测定叶片叶绿素含量. 105% 杀青 30 min, 80% 烘干至恒重,测定植株生物量.

## 1.3 统计分析

试验数据用 Excel 计算平均值和标准差,用统计软件 SPSS 17.0 (SPSS Inc., Chicago, USA)进行显著性检验,分析不同 O<sub>3</sub> 浓度处理的N<sub>2</sub>O排放差异. 用软件 OriginPro 8.0 (OriginLab, USA)作图.

## 2 结果与分析

## 2.1 土壤温湿度的变化

冬小麦生长季 5 cm 深土壤温湿度如图 1 所示. CK 的土壤温度变化范围为 9. 1 ~ 22. 8  $^{\circ}$  、 $T_1$  的土壤温度变化范围为 9. 1 ~ 22. 9  $^{\circ}$  、 $T_2$  的土壤温度变化范围为 9. 4 ~ 23. 3  $^{\circ}$  . CK 的土壤湿度变化范围为 13. 2% ~ 22. 1% 、 $T_2$  的土壤湿度变化范围为 13. 2% ~ 22. 1% 、 $T_2$  的土壤湿度变化范围为 12. 3% ~ 21. 6% . 在整个冬小麦生长季,不同  $O_3$  浓度处理的土壤温湿度差异不显著 (P < 0.05),在这种情况下,土壤温度和湿度对 $V_2$ O排放有着相同影响,因此可认为不同  $V_3$  、 这种后产生的 $V_2$ O排放之间的差异与不是由于土壤温湿度引起的.

## **2.2** $O_3$ 浓度升高对 $N_2$ O排放规律的影响

土壤-冬小麦系统N<sub>2</sub>O排放的生长季变化规律 见图 2(a). CK 在返青期,N<sub>2</sub>O排放量逐渐升高,随

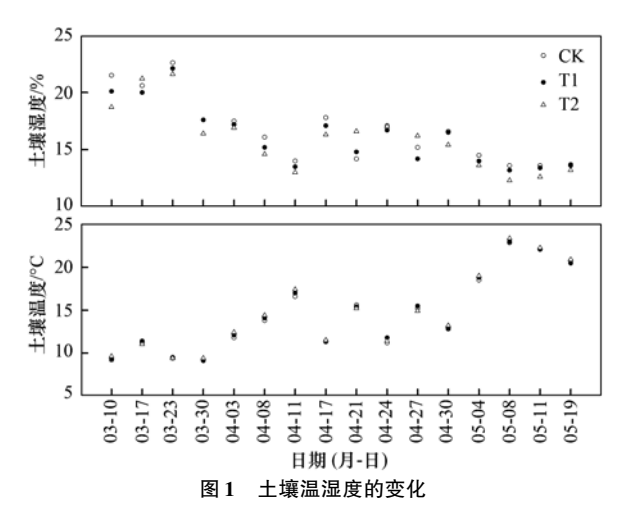


Fig. 1 Dynamic changes of soil temperature and soil moisture

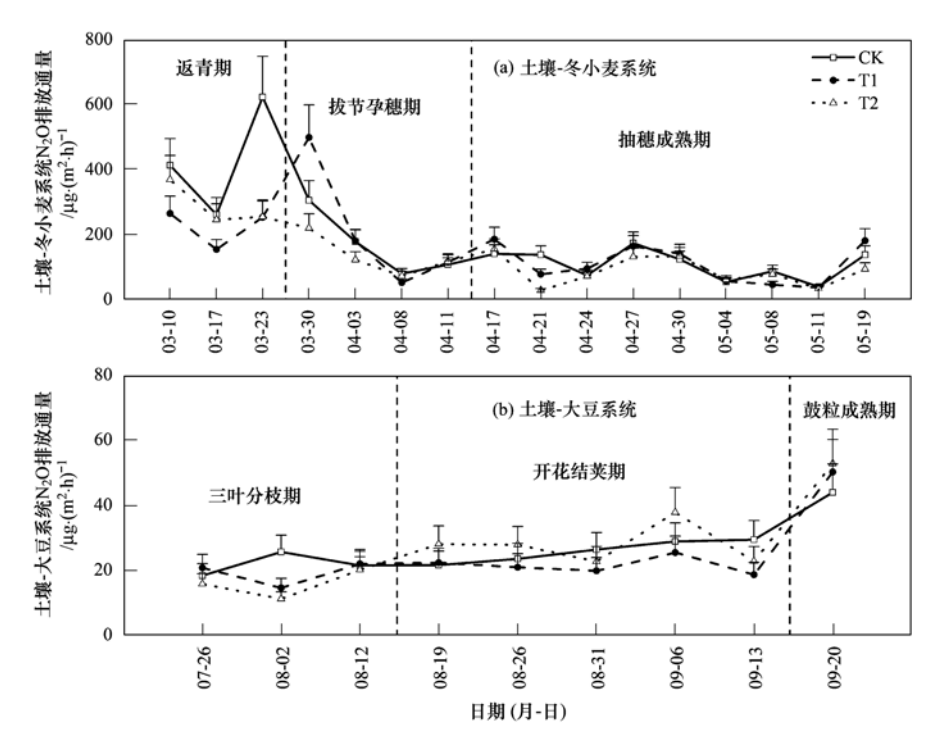
着植物生长和气温的升高, $N_2O$ 排放量逐渐增大,在返青期末达到峰值,到拔节孕穗期又逐渐降低.  $CK \times T_1$  与  $T_2$  的 $N_2O$ 排放生长季变化模式相似,只是  $T_1$  的峰值出现在拔节期,与 CK 相比推迟了 $N_2O$ 排放量峰值出现的时间, $T_2$  的 $N_2O$ 排放通量随着小麦的生长逐渐降低, $T_2$  处理较高的 $N_2O$ 排放通量出现在返青期.

土壤-大豆系统 $N_2O$ 排放的生长季变化规律如图 2(b),CK 的 $N_2O$ 排放通量随着大豆的生长呈现逐渐升高的趋势,在鼓粒成熟期达到峰值。 $T_1$  处理的 $N_2O$ 排放通量明显低于 CK,在鼓粒成熟期又高于 CK.  $T_2$  处理的 $N_2O$ 排放通量在三叶分枝期低于 CK,在开花结荚期又高于 CK,并在结荚期出现一个峰值。CK、 $T_1$ 、 $T_2$  的 $N_2O$ 排放的生长季变化规律均呈现逐渐升高的趋势,在成熟期达到峰值, $O_3$  浓度升高没有改变土壤-大豆系统 $N_2O$ 排放通量的生长季变化规律.

# 2.3 O,浓度升高对N,O累积排放量的影响

土壤-冬小麦系统 $N_2$ O累积排放量如图 3 (a). 与 CK 相比,返青期, $T_1$ 、 $T_2$  的 $N_2$ O累积排放量分别降低了 37.8% (P = 0.000) 和 8.8% (P = 0.903);在拔节孕穗期, $T_1$ 、 $T_2$  的 $N_2$ O累积排放量分别降低了 15.0% (P = 0.217) 和 39.1% (P = 0.000);抽穗成熟期, $T_1$ 、 $T_2$  的  $N_2$ O累积排放量分别降低了 10.1% (P = 0.385) 和 18.8% (P = 0.135);从全生育期来看, $T_1$ 、 $T_2$  的  $N_2$ O累积排放量分别降低了 18.9% (P = 0.138) 和 25.6% (P = 0.000).除返青期外, $T_2$  的 $N_2$ O累积排放量都显著低于 $T_1$ ,即 $T_2$  的 $T_2$  的 $T_3$  被度越高, $T_3$ 0累积排放量降低幅度越大.

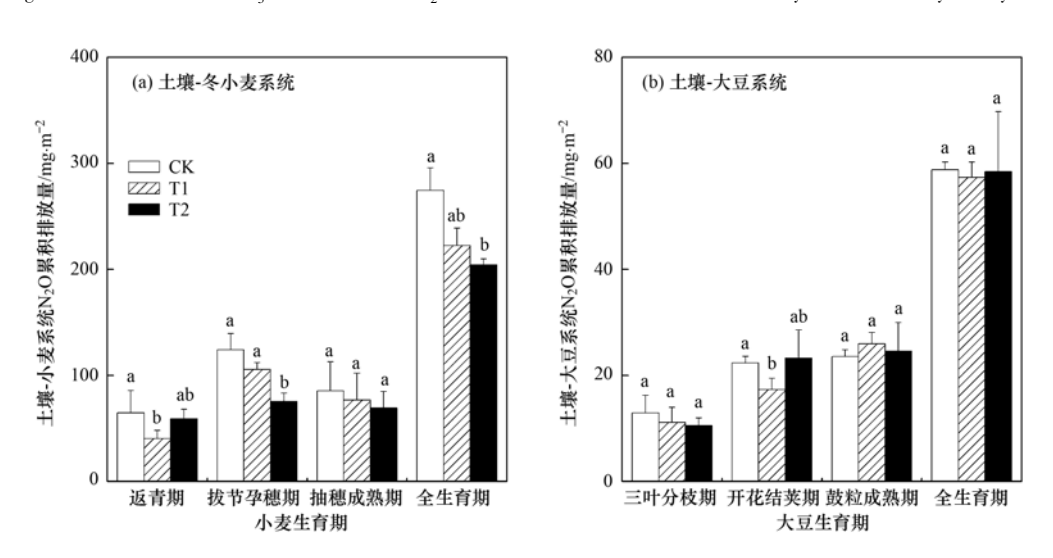
图 3(b) 是土壤-大豆系统的N<sub>2</sub>O累积排放量. 在三叶分枝期,N<sub>2</sub>O累积排放量随着O<sub>3</sub>浓度的升高



图中误差线为标准误差 SD(个别数据点因 SD 较小而未显示出误差线)

图 2  $O_3$  浓度升高对土壤-冬小麦系统和土壤-大豆系统 $N_2O$ 排放通量的影响

Fig. 2 Effects of elevated O<sub>3</sub> concentration on N<sub>2</sub>O emission fluxes from soil-winter wheat system and soil-soybean system



字母不同表示处理间差异显著(P<0.05)

## 图 3 $O_3$ 浓度升高对不同生育期土壤-冬小麦系统和土壤-大豆系统 $N_2O$ 累积排放量的影响

Fig. 3 Effects of elevated  $O_3$  concentration on the accumulative amount of  $N_2\,O$  emission from soil-wheat system and soil-soybean system during different growing stages

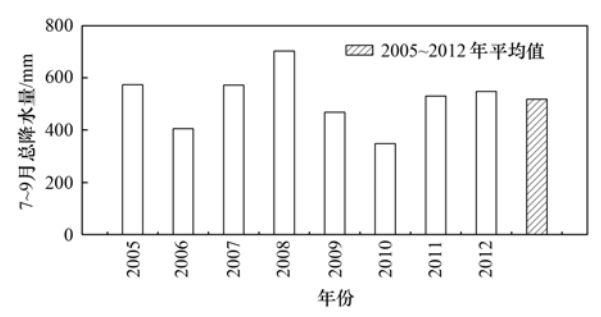
而降低; 开花结荚期和鼓粒成熟期,  $T_2$  处理的 $N_2$ O 累积排放量变化不大,  $T_1$  则仅在开花-结荚期显著降低了 $N_2$ O累积排放量. 从全生育期来看,  $O_3$  浓度对土壤-大豆系统的 $N_2$ O累积排放量没有改变, 其原因主要是大豆生长期间干旱胁迫所致. 2010 年大豆生长季的降水量很少(图4), 土壤较干旱, 而试验过程中没有进行人工浇水, 大豆植株生长受到抑制, 导致

土壤和大豆植株N,O产生/排放量较小.

2.4 O, 浓度升高对生物量和氮指标的影响

# 2.4.1 O<sub>3</sub> 浓度升高对生物量的影响

冬小麦拔节-孕穗期, $T_1$  地上、根和总生物量分别降低了 32.65% (P=0.000)、26.64% (P=0.037)和31.76% (P=0.000), $T_2$ 处理地上、根和总生物量分别降低了 31.87% (P=0.000)、



数据来源:南京水利(http://www. njsl. gov. cn/)

# 图 4 大豆主要生育期(7~9月)多年降水量

Fig. 4 Precipitation during the main growth season of soybean (from July to September)

26. 64% (P = 0.034) 和 31. 1% (P = 0.000). 成熟期, $T_1$ 、 $T_2$  的总生物量分别降低了 30. 95% (P = 0.000) 和 49. 27% (P = 0.000) (表 1).  $O_3$  浓度升高降低了小麦的生物量. 由于大豆生长季受干旱影响严重,大豆生物量的变化可能主要是干旱引起而不是  $O_3$  浓度升高,因此本文未列出大豆生物量.

## 2.4.2 O, 浓度升高对氮指标的影响

由表 2 可见, 在拔节-孕穗期、抽穗-成熟期,与CK 相比,  $T_2$  处理的小麦叶片硝态氮含量差异均不显著(P=0.215 和 P=0.317);叶片铵态氮含量差异也不显著(P=0.851 和 P=0.342);全氮在抽穗-

表 1 O、浓度升高对冬小麦生物量的影响/g·m<sup>-2</sup>

Table 1 Effects of elevated O<sub>3</sub> on winter-wheat biomass/g·m<sup>-2</sup>

生育期	生物量	CK	$T_1$	$T_2$
拔节-孕穗期	地上生物量	14. 12 ± 3. 54	9. 51 ± 1. 06 **	9. 62 ± 1. 05 **
	根生物量	$2.59 \pm 0.18$	1. 90 $\pm$ 0. 43 $^{*}$	1. 90 $\pm$ 0. 73 $^*$
	总生物量	$16.72 \pm 2.42$	11. 41 ± 1. 95 **	11. 52 ± 1. 92 *
成熟期	地上生物量	$39.90 \pm 6.46$	$27.27 \pm 5.61$	$20.08 \pm 2.96$ *
	根生物量	1. $75 \pm 0.55$	$1.49 \pm 1.24$	$1.05 \pm 0.53$
	总生物量	$41.65 \pm 5.62$	28. 76 $\pm$ 3. 82 $^*$	21. 13 ± 3. 27 *

1)数值为平均值 ± 标准误差, \*, \* \*表示 CK 与  $T_1$ 、 $T_2$  处理的差异性, 分别为 P < 0.05 和 P < 0.01. 下同

表 2 O<sub>3</sub> 浓度升高对冬小麦叶片相关氮指标的影响/mg·g<sup>-1</sup>

Table 2 Effects of elevated O<sub>3</sub> on nitrogen items in wheat leaves/mg·g<sup>-1</sup>

项目	拔节-孕穗期		抽穗-成熟期	
	CK	$T_2$	CK	$T_2$
硝态氮	$0.25 \pm 0.03$	$0.27 \pm 0.02$	0. 22 ± 0. 02	$0.20 \pm 0.02$
铵态氮	$2.11 \pm 0.02$	$2.10 \pm 0.02$	$2.8 \pm 0.01$	$2.6 \pm 0.02$
全氮	$38.71 \pm 3.75$	$38.23 \pm 3.8$	$10.22 \pm 2.36$	5. $84 \pm 1.49$ *

成熟期显著降低,降幅为 42.86% (P = 0.000).由于大豆生长季受干旱影响严重,大豆叶片氮指标的变化可能主要是干旱引起而不是  $O_3$  浓度升高,因此本文也未列出大豆叶片的相关氮指标.

冬小麦土壤氮相关指标见表 3. 与 CK 相比,  $T_2$  处理的土壤硝态氮、全氮含量差异不显著, 但土壤铵态氮含量在拔节-孕穗期和抽穗-成熟期显著降低, 降幅为 46. 66% (P = 0. 000)和 40. 66% (P = 0. 000).

表 3 03 浓度升高对冬小麦田土壤相关氮指标的影响

Table 3 Effects of elevated  $O_3$  on nitrogen items related to  $N_2O$  emission in wheat farmland soil

项目	拔节-孕穗期		抽穗-成熟期	
	CK	$T_2$	CK	$T_2$
硝态氮/μg·g <sup>-1</sup>	$1.28 \pm 0.03$	$1.28 \pm 0.01$	$1.24 \pm 0.03$	1. 22 ± 0. 01
铵态氮/μg·g <sup>-1</sup>	$21.28 \pm 2.03$	11. 35 ± 1. 01 **	$27.37 \pm 1.43$	16. 24 ± 1. 62 **
全氮/mg·g <sup>-1</sup>	$0.58 \pm 0.15$	$0.76 \pm 0.09$	$0.64 \pm 0.07$	$0.66 \pm 0.12$

# 3 讨论

# 3.1 环境因子与N<sub>2</sub>O排放

土壤含水量通过影响土壤的氧化还原电位、土壤微生物的有效性等来对土壤硝化反硝化作用产生影响,使得土壤 $N_2$ 0在土壤中的传输及其向大气中的排放产生变化. 当土壤孔隙含水率(water filled

pore space, WFPS)处于 30%  $\sim$  60%, 土壤 $N_2$ O排放量与 $NO_3^-$ -N浓度均随土壤含水量的增加而增加时,由土壤硝化作用产生的 $N_2$ O占主要地位;而当WFPS 高于 60%时, 土壤反硝化作用是 $N_2$ O产生的主要机制. 当土壤含水量处于一个既能促进硝化作用又能促进反硝化作用的特定范围时, 土壤 $N_2$ O产生和排放达到最高值. 在本研究中, 冬小麦 CK、 $T_1$ 、、

 $T_2$  的土壤温湿度变化差异不大,说明  $T_1$ 、 $T_2$  的土壤-冬小麦系统 $N_2$ O排放降低是由于  $O_3$  浓度升高引起的.

土壤-冬小麦系统的N2O排放通量峰值出现在 返青和拔节期,原因可能与施用返青肥有关,此时小 麦植株幼小,其对N,O排放贡献较小,施肥氮素引起 的N,O排放所占比例较大. 另外,这段时期也正处 于降雨较频繁季节,降雨充满土壤孔隙,加大了厌氧 环境并使反硝化作用加强,N,O大量产生并排出土 壤,这与 Mu 等<sup>[26]</sup>在日本的观测结果一致. Goldberg 等[27]认为干旱土壤由于浇水或降雨而造成土壤水 分迅速升高会导致土壤N,O排放短暂而剧烈的增 加,降水可提高土壤氧化还原电位,改变 02 供给状 况.从而影响 N,O 的排放. Kinney 等[28] 研究发现 土壤N2O排放通量与降雨量和土壤湿度间存在线性 关系,灌溉和降水是造成 N<sub>2</sub>O 季节性波动的主要原 因. 所以土壤-冬小麦系统N,O排放通量在返青和拔 节期出现峰值,在冬小麦生长后期,植株对氮素吸收 利用能力变强,土壤有效氮随时间而减少,导致土 壤-冬小麦系统N,O排放通量较低.

对比冬小麦与大豆试验结果发现,0,浓度升高 对冬小麦农田影响明显,而对大豆农田几乎没有影 响,且大豆田N2O排放比小麦田小很多,其原因是: ①试验设计时,冬小麦和大豆0,处理浓度是一致的 (都是 100 nL·L<sup>-1</sup>,或 150 nL·L<sup>-1</sup>,),但是宗雪 梅[29] 等发现近地表 0, 浓度有较强的季节变化特 征.表现夏季(大豆生长季)较高,冬季(冬小麦生长 季)较低. 因此,试验过程中冬小麦受到的 O, 胁迫 程度比大豆大很多,表现在冬小麦系统对臭氧浓度 升高响应明显;②本研究中大豆生长季试验期间, 降水量非常少(图4),土壤干旱胁迫抑制了大豆植 株生长,N,O排放也很低,远远小于冬小麦生长季的 (图2). 由于干旱胁迫对作物和土壤的影响,使臭 氧升高对大豆田的影响并没有能明显的表现出来. ③熊正琴等[30]研究发现,与闲耕相比,旱地种植豆 科植物显著降低了土壤N,O的排放. 这是由于豆科 植物不仅从大气中固定氮,还从土壤中吸收矿质态 氮,从而降低了N<sub>2</sub>O的排放量. 因此,相比于土壤-冬 小麦系统而言,土壤-大豆系统N,O排放量相对 较低.

## 3.2 O。浓度升高影响N。O排放的原因

本研究中  $O_3$  浓度升高显著降低了土壤-作物系统的 $N_2$  O平均排放通量,其可能原因:土壤 $N_2$  O产生和排放主要来自微生物的硝化反硝化过程,

Andersen<sup>[14]</sup>研究发现降低 O<sub>3</sub> 浓度升高降低植物根 系有机物的分泌,而根系分泌物是根际微生物的主 要 C 源,从而会导致土壤微生物代谢降低[31]. 植物 根系分泌物减少,影响土壤微生物养分供应,使土壤 微生物活性降低,从而导致土壤N,O排放通量降低. 李全胜等[32]研究也发现 0,浓度升高通过影响小麦 植株间接增加根际土壤亚硝酸细菌和硝化反硝化细 菌数量,可能使土壤硝化反硝化过程更完全,最终产 物不是N2O,而是N2,从而使土壤N2O排放随着O3 浓度升高而降低. 而作物体本身产生的N2O的量一 般与光合作用的强度和叶绿素含量等因素有关. 0, 浓度升高降低叶绿素含量[9,10]; 迫使叶片气孔关 闭[33],从而降低植物的光合作用[34],抑制植物生长 和作物生物量[13],导致植株N,O排放降低. 即 O,浓 度升高通过间接地影响作物,降低土壤-作物系统的 N,O排放.

李玥莹等[35]研究发现,作物N,O排放与作物叶 片的NO3-N含量和硝酸还原酶(NR)活性呈显著正 相关. 本研究中,在冬小麦拔节-孕穗期和抽穗-成熟 期,与 CK 相比, T2 处理的冬小麦叶片 NH4+-N和 NO, -N含量差异均不显著,仅叶片全氮在抽穗-成熟 期显著降低,从而 O,浓度升高处理的小麦植株的 N<sub>2</sub>O排放量可能降低. 本研究中 T<sub>2</sub> 处理的土壤 NH₄+N含量与 CK 相比,在拔节-孕穗期和抽穗-成熟 期显著降低,土壤NO, -N含量没有显著差异,曾江海 等[36]研究表明大部分反硝化细菌在一定条件下能 把N2O还原为 N2,但 NH4 通过反硝化细菌抑制N2O 的进一步还原,即由于土壤NH,+-N含量降低,N,O进 一步被还原为 N<sub>2</sub>, 所以导致土壤 N<sub>2</sub>O排放降低, 孙 艳丽等[37] 也发现随着土壤NH+-N含量降低,土壤 N,O排放通量呈下降趋势,而与NO,-N含量未表现 出明显的数量关系. 本研究中冬小麦土壤拔节-孕 穗期和抽穗-成熟期 T, 处理的全氮含量增加(但未 达到显著性水平),而黄耀等[38]的研究表明土壤 N<sub>2</sub>O的排放与土壤全氮含量呈显著负相关,因此可 能出现冬小麦拔节-孕穗期和抽穗-成熟期 T, 处理 的土壤 N,O 排放降低现象. 土壤中的 NH,+-N 和 NO, -N作为硝化反硝化作用关键的底物,其含量降 低,可能导致土壤N,O排放量降低. O,浓度升高可 能通过降低小麦植株N,O排放和土壤N,O排放,从 而导致土壤-冬小麦系统N<sub>2</sub>O排放通量降低,而相比 于 T, 处理, T, 处理的冬小麦植株受臭氧胁迫更加 严重,植株的生长等其他生理特性也受到抑制,从而  $T_2$  处理比  $T_1$  处理的小麦植株 $N_2$ O排放通量降低,同时小麦田  $T_2$  处理的土壤 $N_2$ O排放通量也降低,又因为植株 $N_2$ O排放在土壤-作物系统 $N_2$ O排放中所占比重较大[39],因此可能出现冬小麦拔节-孕穗期  $T_2$  处理的土壤-冬小麦系统 $N_2$ O排放降低现象.

# 3.3 0,浓度升高对氮素指标的影响

O<sub>3</sub> 浓度升高改变了植物的生理机制、凋落物及其根系分泌物的品质和组成成分,导致了土壤中N等元素的含量发生变化,从而引发了土壤中的功能微生物数量的改变,进而可能影响不同时期小麦植株体内N含量. 张咸臣等<sup>[40]</sup>研究表明,O<sub>3</sub> 浓度升高处理显著降低了成熟期小麦植株地上部分体内N的含量,本研究也发现T<sub>2</sub> 处理显著降低了成熟期小麦叶片中全氮含量,降幅为42.86%(P=0.043).

Kanevva 等<sup>[41]</sup>对草地生态系统的观察表明,臭氧浓度升高条件下土壤NH<sub>4</sub><sup>+</sup>-N和NO<sub>3</sub><sup>-</sup>-N的含量均会下降,并且NH<sub>4</sub><sup>+</sup>-N含量的下降达到了显著水平(*P* <0.05). 本研究中也表明 O<sub>3</sub> 浓度升高条件下,自拔节期起,土壤活性氮(NH<sub>4</sub><sup>+</sup>-N和NO<sub>3</sub><sup>-</sup>-N)含量随小麦生长呈现出逐渐降低的趋势,T<sub>2</sub> 处理下土壤铵态氮含量在拔节期和抽穗期显著降低. 臭氧浓度升高条件下土壤脲酶活性增强,可能是小麦受到臭氧胁迫后通过增加氮素营养吸收来提高其抗胁迫能力<sup>[42]</sup>,所以土壤活性氮含量均趋于降低,亦导致土壤-冬小麦系统N<sub>2</sub>O排放降低.

## 4 结论

- (1) O<sub>3</sub> 浓度升高没有改变土壤-冬小麦(大豆) 系统N<sub>2</sub>O排放通量的生长季变化规律.
- (2) 从返青期和全生育期来看, $O_3$  浓度升高显著降低了土壤-冬小麦系统的 $N_2$ O排放通量和累积排放量.
- (3) 本研究的大豆生长季由于降水量少,干旱对大豆作物影响大,干旱胁迫遮蔽了  $O_3$  的生态效应, $O_3$  对大豆田 $N_2$ O排放影响没有显著体现出来. 参考文献:
- [ 1 ] IPCC. Climate change 2007: the physical science basis. Contribution of working group I to the fourth assessment report of the intergovernmental panel on climate change [R]. Cambridge: Cambridge University Press, 2007.
- [2] IPCC. Climate change 2013; the physical science basis. Working group I contribution to the fifth assessment report of the intergovernmental panel on climate change [R]. Cambridge: Cambridge University Press, 2013.
- [ 3 ] Blasing T J. Recent greenhouse gas concentrations. Oak ridge

- national laboratory: carbon dioxide information analysis center [EB/OL]. http://cdiac. ornl. gov/pns/current\_ghg. html, 2014-4-15.
- [4] IPCC. Atmospheric chemistry and greenhouse gases [A]. In: Houghton J T, Ding Y, Griggs D J, et al. (Eds.). Climate change 2001: the scientific basis [C]. Cambridge: Cambridge University Press, 2001. 183-238.
- [5] 周秀骥. 长江三角洲低层大气与生态系统相互作用研究 [M]. 北京: 气象出版社, 2004. 48-51.
- [6] Meleux F, Solmon F, Giogi F. Increase in summer European ozone amounts due to climate change [J]. Atmospheric Environment, 2007, 41(35): 7577-7587.
- [7] Cape J N. Surface ozone concentrations and ecosystem health: past trends and a guide to future projections[J]. Science of the Total Environment, 2008, 400(1-3): 257-269.
- [8] Sitch S, Cox P M, Collins W J, et al. Indirect radiative forcing of climate change through ozone effects on the land-carbon sink [J]. Nature, 2007, 448(7155): 791-794.
- [9] 郑有飞, 胡会芳, 吴荣军, 等. 臭氧胁迫下遮荫对孕穗期冬 小麦叶片光合系统的影响[J]. 中国农业气象, 2013, 34 (4): 410-418.
- [10] Löw M, Herbinger K, Nunn A J, et al. Extraordinary drought of 2003 overrules ozone impact on adult beech trees (Fagus sylvatica) [J]. Trees, 2006, 20(5): 539-548.
- [11] Wang X P, Mauzerall D L. Characterizing distributions of surface ozone and its impact on grain production in China, Japan and South Korea: 1990 and 2020 [J]. Atmospheric Environment, 2004, 38(26): 4383-4402.
- [12] Ryang S Z, Woo S Y, Kwon S Y, et al. Changes of net photosynthesis, antioxidant enzyme activities, and antioxidant contents of *Liriodendron tulipifera* under elevated ozone [J]. Photosynthetica, 2009, 47(1): 19-25.
- [13] 王云霞, 王晓莹, 周晓冬, 等. 近地层臭氧  $(O_3)$  浓度升高 对水稻武运粳 21 抗倒性的影响 [J]. 江苏农业学报, 2011, 27(6): 1167-1173.
- [14] Andersen C P. Source-sink balance and carbon allocation below ground in plants exposed to ozone [J]. New Phytologist, 2003, 157(2): 213-228.
- [15] 胡正华, 李岑子, 陈书涛, 等. 臭氧浓度升高对土壤-冬小麦系统 CO<sub>2</sub> 排放的影响[J]. 环境科学, 2011, **32**(1): 46-50.
- [16] 王亮,曾青, 冯兆忠,等. 开放式臭氧浓度升高对 2 个冬小 麦品种光合损伤的研究[J]. 环境科学, 2009, **30**(2): 527-534
- [17] Calatayud A, Iglesias D J, Talón M, et al. Response of spinach leaves (Spinacia oleracea L.) to ozone measured by gas exchange, chlorophyll a fluorescence, antioxidant systems, and lipid peroxidation [J]. Photosynthetica, 2004, 42(1): 23-29.
- [18] Islam K R, Mulchi C L, Ali A A. Interactions of tropospheric CO<sub>2</sub> and O<sub>3</sub> enrichments and moisture variations on microbial biomass and respiration in soil [J]. Global Change Biology, 2000, 6(3): 255-265.
- [19] Kanerva T, Palojärvi A, Rämö K, et al. Changes in soil

- microbial community structure under elevated tropospheric  $O_3$  and  $CO_2[J]$ . Soil Biology and Biochemistry, 2008, **40**(10): 2502-2510.
- [20] 石春红,郑有飞,吴芳芳,等.大气中臭氧浓度增加对根际和非根际土壤微生物的影响[J].土壤学报,2009,46(5):894-898
- [21] Melillo J M, Steudler P A, Aber J D, et al. Soil warming and carbon-cycle feedbacks to the climate system [J]. Science, 2002, 298(5601); 2173-2176.
- [22] Parton W J, Mosier A R, Ojima D S, et al. Generalized model for N<sub>2</sub> and N<sub>2</sub>O production from nitrification and denitrification [J]. Global Biogeochemical Cycles, 1996, 10(3): 401-412.
- [23] Wang Y S, Wang Y H. Quick measurement of CH<sub>4</sub>, CO<sub>2</sub> and N<sub>2</sub>O emissions from a short-plant ecosystem [J]. Advances in Atmospheric Sciences, 2003, 20(5): 842-844.
- [24] Hu Z H, Jiang J Y, Chen S T, et al. Effects of enhanced UV-B radiation on N<sub>2</sub>O emission in a soil-winter wheat system [J]. Water, Air, & Soil Pollution, 2010, 213(1-4): 493-499.
- [25] 李宇庆, 陈玲, 赵建夫. 土壤全氮测定方法的比较[J]. 广州 环境科学, 2006, **21**(3): 28-29.
- [26] Mu Z J, Kimura S D, Toma Y, et al. Nitrous oxide fluxes from upland soils in central Hokkaido, Japan [J]. Journal of Environmental Sciences, 2008, 20(11): 1312-1322.
- [27] Goldberg S D, Gebauer G. N<sub>2</sub>O and NO fluxes between a Norway spruce forest soil and atmosphere as affected by prolonged summer drought [J]. Soil Biology and Biochemistry, 2009, 41 (9): 1986-1995.
- [28] Kinney C A, Mandernack K W, Mosier A R. Laboratory investigations into the effects of the pesticides mancozeb, chlorothalonil, and prosulfuron on nitrous oxide and nitric oxide production in fertilized soil [J]. Soil Biology and Biochemistry, 2005, 37(5): 837-850.
- [29] 宗雪梅, 王庚辰, 陈洪滨, 等. 北京地区边界层大气臭氧浓度变化特征分析[J]. 环境科学, 2007, **28**(11): 2615-2619.
- [30] 熊正琴, 邢光熹, 鹤田治雄, 等. 冬季耕作制度对农田氧化

- 亚氮排放的贡献[J]. 南京农业大学学报, 2002, **25**(4): 49-52.
- [31] McCrady J K, Andersen C P. The effect of ozone on below-ground carbon allocation in wheat [J]. Environmental Pollution, 2000, 107(3); 465-472.
- [32] 李全胜,林先贵,胡君利,等.近地层臭氧浓度升高对麦田土壤氨氧化与反硝化细菌活性的影响[J].生态与农村环境学报,2010,**26**(6):524-528.
- [33] Wieser G, Matyssek R. Linking ozone uptake and defense towards a mechanistic risk assessment for forest trees [J]. New Phytologist, 2007, 174(1): 7-9.
- [34] Wittig V E, Ainsworth E A, Naidu S L, et al. Quantifying the impact of current and future tropospheric ozone on tree biomass, growth, physiology and biochemistry: a quantitative meta-analysis [J]. Global Change Biology, 2009, 15(2): 396-424.
- [36] 曾江海,王智平. 农田土壤N<sub>2</sub>O 生成与排放研究[J]. 土壤 通报,1995, **26**(3): 132-134.
- [37] 孙艳丽,陆佩玲,李俊,等. 华北平原冬小麦/夏玉米轮作田 土壤N<sub>2</sub>O通量特征及影响因素[J]. 中国农业气象,2008,**29** (1):1-5.
- [38] 黄耀, 焦燕, 宗良纲, 等. 土壤理化特性对麦田 $N_2$ O 排放影响的研究[J]. 环境科学学报, 2002, **22**(5): 598-602.
- [39] Zou J W, Huang Y, Sun W J, et al. Contribution of plants to N<sub>2</sub>O emissions in soil-winter wheat ecosystem: pot and field experiments [J]. Plant and Soil, 2005, 269(1-2): 205-211.
- [40] 张咸臣,张海进,尹徽琴,等. 大气  $O_3$  浓度升高对麦季土壤和植株氮磷钾的影响[J]. 生态学杂志, 2011, 30(8): 1637-1641.
- [41] Kanerva T, Palojärvi A, Rämö K, et al. A 3-year exposure to CO<sub>2</sub> and O<sub>3</sub> induced minor changes in soil N cycling in a meadow ecosystem [J]. Plant and Soil, 2006, **286**(1-2); 61-73.
- [42] 孙瑞莲,赵秉强,朱鲁生,等.长期定位施肥对土壤酶活性的影响及其调控土壤肥力的作用[J].植物营养与肥料学报,2003,9(4):406-410.